

رسم خرائط المناطق المعرضة لخطر الفيضانات في حوضي السخنة وتدمر باستخدام نظم المعلومات الجغرافية (GIS) واقتراح موقع منشآت لدرء مخاطر الفيضان

طالبة الماجستير: صابرین ابراهیم حمید

د.م. وسام میشیل نخله

جامعة دمشق - كلية الهندسة المدنية

الملخص

تشمل منطقة الدراسة حوضي السخنة وتدمر في الباذلة السورية. اعتمد البحث على نظم المعلومات الجغرافية (GIS) لتحليل البيانات الجغرافية وتحديد مؤشر خطر الفيضان (FHI)، وتتضمن البحث ستة معاير: (الهطولات المطالية، قيم CN، الانحدار، التربة، TWI، كثافة المسيلات المائية). وباستخدام عملية التسلسل الهرمي التحليلي (AHP) تم تحديد أوزان المعاير. وحسب حجم الجريان السطحي عند الموضع المقترحة لدرء خطر الفيضانات باستخدام طريقة خدمة المحافظة على التربة (SCS-CN). وقد أنتج النموذج خريطة الملائمة المكانية لمؤشر خطر الفيضان بأربع فئات: مناطق ذات مؤشر خطر عالي جداً بنسبة 15.7% من منطقة الدراسة، وذات مؤشر عالي 28.6%， ومتوسط 32.2% وذات مؤشر ضعيف لخطر الفيضان. وبناءً عليه تم تحديد موقع منشآت حصاد مياه الأمطار لهدف درء خطر الفيضان وعدها 8 موقع، ويبلغ حجم الوارد المائي السنوي من أجل عاصفة مطالية 46.07 mm/day مدة تكرارها كل 100 سنة عند الموضع المقترحة (3.2- 0.5) مليون متر مكعب.

الكلمات المفتاحية: التسلسل الهرمي التحليلي (AHP)، مؤشر خطر الفيضان (FHI)، نظم المعلومات الجغرافية (GIS).

1. مقدمة:

يعرف خطر الفيضان على أنه ظاهرة هيدرولوجية مناخية يحدث بشكل أساسي بسبب الهاطلات المطرية التي تؤدي إلى ارتفاع منسوب المياه في المجاري المائية بكميات كبيرة تتجاوز قدرتها على تصريفها مما يؤدي إلى غمر المناطق المجاورة. وتعتبر الفيضانات من الأخطار الطبيعية وتصنف من الأخطار الجيوفيزيكية (مناخية وبيئومغذوية) [8]. تعتبر نظم المعلومات الجغرافية (GIS) والاستشعار عن بعد (RS) أدوات فعالة في تحديد مؤشر خطر الفيضان. [5]

2. أهمية البحث:

رسم خرائط الفيضان يمكن أن يسهم في فهم أفضل لتوزيع المخاطر وتحديد المناطق الأكثر تعرضاً للفيضان، مما يساعد في اتخاذ قرارات مستقرة لقليل الأضرار.

3. هدف البحث:

يهدف هذا البحث إلى تحديد المناطق المعرضة لخطر الفيضان المحتملة في حوضي السخنة وتدمير باستخدام تقنيات نظم المعلومات الجغرافية (GIS) وتقديم حلول فعالة للتقليل من مخاطر الفيضان وحماية المجتمعات المحلية وتحديد حرم هذه المجاري المائية.

4. مشكلة البحث:

يتعرض حوضي السخنة وتدمير إلى عواصف مطرية شديدة وخلال أوقات متفرقة من السنة. ينتج عنها سيول سطحية تهدد الممتلكات والبنية التحتية وتؤثر سلباً على حياة السكان، حيث تتركز معظم التجمعات السكنية بجوانب المجاري المائية مع جهل السكان لحرم هذه المجاري.

5. مواد وطرق البحث:

5-1. منهجة العمل: تم العمل وفق المنهجية التالية:

- 1- جمع ما توفر من معلومات وبيانات مناخية وطبوغرافية ومائية عن منطقة الدراسة.
- 2- جمع ما توفر من خرائط ومعطيات تساعد في وصف منطقة الدراسة، التربة والجيولوجيا، معلومات عن السكان واستعمالات الأرضي، والسدود المنفذة وال المجالات الاستثمارية الأخرى.
- 3- العمل على إعداد نموذج ارتفاع رقمي لمنطقة الدراسة ومعالجته واجراء مجموعة عمليات هيدرولوجية ضمن برنامج (GIS) لتحقيق هدف البحث.

- تحديد العوامل المؤثرة في تشكل الفيضانات، وتصنيفها، وتحديد أوزانها عن طريق (AHP).
- استخدام نظم المعلومات الجغرافية (GIS) لتحليل البيانات الجغرافية ورسم خرائط الفيضان.
- استخدام برنامج التحليل الإحصائي EasyFit 5.6 لتقدير قيم الهطول اليومي الأعظمي المقابل لفترات تكرار مختلفة وحساب حجم الجريان السطحي عند الموضع المقترن لدء خطر الفيضانات باستخدام طريقة مكتب استصلاح الأراضي لأمريكي (SCS-CN)
- تحليل النتائج، ووضع التوصيات.

2.5. منطقة الدراسة:

تشمل منطقة الدراسة حوضي السخنة وتتمر في الباية السورية وهي جزء من أحواض الباية السبعة. تمتد على مساحة 19.75 ألف كم² وتشكل 24% من مساحة حوض الباية.

تتميز المنطقة بمناخ قاري جاف إلى شديد الجفاف، ذو الشتاء المعتمد والصيف الحار والفرقـات اليومـية الكـبـيرـة في درـجـاتـ الـحرـارةـ. مـعـدـلـ الـهـطـلـ المـطـرـيـ أـقـلـ مـنـ 150ـ مـمـ سـنـوـيـاـ، ومـعـدـلـ الـحرـارةـ الصـغـرـىـ 9ـ 12ـ دـرـجـةـ، ومـعـدـلـ الـحرـارةـ العـظـمىـ 41ـ 45ـ دـرـجـةـ، مـعـدـلـ الرـطـوبـةـ السـنـوـيـ 55ـ 45ـ %ـ، ومـعـدـلـ التـبـخـرـ 2400ـ 1600ـ مـمـ بـالـسـنـةـ.

[13]

6. عملية التسلسل الهرمي التحليلي (AHP)

تعد خوارزمية التحليل الهرمي إحدى طرق صنع القرار متعدد المعايير واسعة التطبيق في مجال إدارة الموارد والبيئة. ونقدم الإطار الرياضي المنطقي المتكامل لحل مسائل صنع القرار متعدد المعايير عن طريق جمع العناصر الفعالة المؤثرة على الهدف في بنية هرمية وفي عدة مستويات تشمل مستوى الهدف، ومستوى المعايير/العوامل، ومستوى البائع.[4]

تم مقارنة العناصر في هذه الطريقة وفق مقياس الأفضلية الذي وضعه توماس ساعاتي [4] من 1 إلى 9 الجدول (1). والذي يساهم في تنفيذ مقارنات عادلة بين المعايير حسب الأهمية، فيبدأ بدرجة أهمية (1) والتي تمثل أهمية متساوية ثم درجة (3) والتي تمثل أهمية معندة ثم تزداد الأهمية وصولاً لدرجة الأهمية (9)، يمكن استخدام أفضليات متوسطة في عملية المقارنة الثانية في حال تطلب ذلك (8,6,4,2)، والبائع الأقل أهمية تكون بمقلوب الرقم (1,3/1,...,5/1). وبالتالي فإن المقارنات الثانية تشكل المدخلات في هذه الطريقة، بينما تكون الأوزان (الأهميات النسبية) للمعايير هي المخرجات، وتمر عملية التحليل الهرمي بالخطوات التالية: تحليل المسألة وتشكيل مصفوفة المقارنة الثانية لجميع المعايير، ثم حساب الأوزان الإجمالية للمعايير، وفي النهاية فحص ثبات المقارنات الثانية..[4]

7. الدراسات المرجعية:

- قدمت (الأسعد، 2015) [8] دراسة بعنوان "إدارة السيول والحد من الآثار الناجمة عنها في منطقة من تدمر". هدفت الدراسة إلى إلقاء الضوء على أهمية التقنيات الحديثة للتوقع بالأماكن الأكثر عرضة لخطر السيول، والتحقق من ملائمة موقع الحفائر المنفذة في المنطقة للاستفادة منها في تجميع مياه السيول. بينت نتائج الدراسة أن المناطق المعرضة لخطر السيول هي قرى (وادي الهيل، المقاطع، العامرية)، كما تم تحديد 26 نقطة تقاطع للسيول مع الطرق. ومن خلال تقييم الحفائر تبين أن الحفائر الموجودة في منطقة الدراسة تمتلئ بمياه السيول وتلبي الغرض المنفذة من أجله ماعدا حفرة المشقوقة الشرقية حيث حجم التخزين فيها معادٍ.
- درس (ياواحدي وسليم، 2022) [10] نموذج الارتفاعات الرقمي لمدينة مكلا عاصمة حضرموت باليمن لإجراء التحليل الهيدرولوجي باستخدام تقنيات نظم المعلومات الجغرافية لتحديد مجاري الأودية المعرضة لخطر السيول في مدينة مكلا. وهدفت الدراسة إلى دعم متذبذبي القرار بالبيانات التي يمكن أن تسهم في الإلادرة الصحيحة لخطر السيول.
- تناول (ناصر، 2023) [12] دراسة حول إدارة مخاطر السيول في منطقة غات في ليبيا، حيث تتعرض المنطقة لجريان السيول على فترات متباudeة لكنها قد تكون خطيرة ومدمرة في حالات نادرة. هدف البحث إلى اقتراح حلول تجنب مدينة غات وجوارها أخطار السيول في المستقبل. اعتمد البحث على المنهج التحليلي في تحليل المرئيات الفضائية ونماذج الارتفاعات الرقمية واستخراج أحواض الأودية ومساراتها وتحديد شبكات تصريفها ورتبتها، بالإضافة إلى حساب كمية المياه التي تتصرف إلى المدينة وقت حدوث الكارثة ومساحة انتشارها، وتحديد المواقع المناسبة لإنشاء السدود المقترحة.
- واعتمد (Amen et al, 2023) [7] على عملية التسلسل الهرمي التحليلي (AHP) لتحديد أوزان المعايير، حيث استخدم 12 معيار من المعايير الهيدرولوجية والطبوغرافية لرسم خرائط الفيضانات في دهوك ضمن إقليم كردستان العراق.
- حددت دراسة (الكياني، البرقاوي، 2024) [9] أفضل المواقع لإقامة سدود في مجـرى وادي مصـين في فلسطين بهدف درء خطر الفيضانات وتخزين المياه للاستفادة منها في الفصول الجافة. اعتمدت الدراسة على (GIS) و(RS) لإعداد الخرائط المختلفة (الانحدار ، الجيولوجية ، التربة ، المسيلات المائية ، استخدامات الأرضي) وتم حساب حجم التخزين عند السدود المقترحة.

8. تصنیف المعايير المستخدمة في الدراسة

تم تحديد المعايير استناداً إلى العديد من المراجع والدراسات في المناطق ذات الظروف المشابهة لمنطقة الدراسة، ويمكن الإشارة إلى أنه لا يوجد معيار ثابت في جميع المناطق يمكن إتباعه دائماً، لأن كل منطقة لها ظروفها الخاصة.

تم في هذه الدراسة اعتماد (6) معايير مؤثرة: الهطولات المطوية، كثافة المسيلات، الميل، مؤشر الرطوبة الطبوغرافي TWI، قوام التربة، قيم منحني الجريان (CN)، ونتائجها مبنية بالشكل (1)

1. **الهطل المطري:** وهو العامل الأهم لنجاح أي نظام حصاد مياه خاصة في المناطق الصحراوية التي تُعاني من شحّ كبير في الموارد المائية. تم إعادة تصنیف معدلات الهطول السنوية إلى خمس فئات متساوية حيث تأخذ المناطق ذات معدلات الهطول الأعلى القيمة المعيارية الأعلى في الملاعنة المكانية لإقامة موقع حصاد المياه كما في الشكل (1-1).

2. **كثافة المسيلات المائية:** المعيار الأهم في اختيار موقع حصاد المياه السطحية، هو أن يقع ضمن شبكة المسيلات المائية، وبالأخص المسيلات المائية ذات الرتبة العالية الشكل (1-2). أن الرتب العالية للمسيلات المائية تدل على أنها تسير في مناطق قليلة الانحدار ذات نفاذية عالية، ذلك إن المياه تسير فيها بشكل بطيء، وأما الرتب المتوسطة فهي تتوارد في المناطق التي يكون انحدار سطحها متوسط إلى عالٍ.

بلغت الرتبة المائية العليا وفق الطريقة الافتراضية في برنامج Arcgis 10.6 (ستريلر) الرتبة (5). ضمن بيئة برنامج تم إنشاء مخطط توزع كثافة المسيلات المائية اعتماداً على أطوالها باستخدام الأداة (Line Density) بوحدة (km/km^2). تم تصنیف كثافة المسيلات المائية وفق ملائمتها لإقامة موقع حصاد المياه، حيث تدل القيمة المعيارية الأكبر على الكثافة الأعلى وهي الأقرب من حيث أهمية الموقع، في حين تدل القيمة المعيارية الأقل على الكثافة الأقل للمسيلات وعدم ملاءمة الموقع لنشأة درء الفيضانات.

3. **رقم المنحني (CN) (Curve Number):** يعبر رقم المنحني CN عن كيفية التأثير المتبدال بين المياه وسطح التربة، القيم الكبيرة تدل على جريان المياه السطحية واحتمال كبير لتشكل الفيضان. وتعتمد قيم CN على خصائص المنطقة المدروسة مثل نوع التربة واستخدامات الأرضي. يمثل CN مقياس مجرد (بلا وحدة عددي)، وتتراوح قيمته (0 - 100) الشكل (3-1).

4. الانحدار: تم الحصول على خريطة الميل في منطقة الدراسة من نموذج الارتفاعات الرقمية. وتم تصنیف ميل سطح الأرض ضمن سبع فئات وفق لتصنیف يونغ (Young, 1975) [3]. حيث تبين أن معظم المنطقة المدروسة تتميز بميل منخفضة (أقل من 10%) تغطي نسبة (97.35%) من المساحة الإجمالية.

عند دراسة الانحدارات لغرض حصاد مياه الأمطار توصي منظمة الأغذية والزراعة (الفاو) بأن لا يزيد الانحدار عن 5% [6] تم إعادة تصنیف الانحدار في منطقة الدراسة وفق القيمة المعيارية المناسبة لإقامة موقع خاصة بحصاد المياه، حيث تأخذ الأرضي شبه المستوية (میل $> 5\%$) القيمة الأكثر أهمية، في حين تأخذ الأرضي شديدة الانحدار (میل $< 30\%$) القيمة الأقل أهمية الشكل (4-1).

5. مؤشر الرطوبة الطبوغرافي: يستخدم مؤشر الرطوبة الطبوغرافي (TWI) لقياس التحكم الطبوغرافي في العمليات الهيدرولوجية. ويشير إلى التوزع المكاني لرطوبة التربة وسطوح الإشباع الشكل (1-5)، حيث تدل القيم العالية للمؤشر على وجود مناطق رطبة (ذات قدرة أفضل على الاحتفاظ بالمياه) بانحدار منخفض ومساحة تجميع مياه كبيرة، وبالتالي انخفاض التعرية والترسيب، وزيادة استقرار المنشآت الخاصة بحصاد المياه. [1]

6. التربة: تم أخذ أنواع التربة كمعيار مستقل في عملية تحليل موقع حصاد المياه من خلال تقدير أهميتها في التقليل أو الزيادة من نسبة تسرب المياه لجوف الأرض، فكلما كانت التربة خشنة كالتراب الرملية كانت النفاذية عالية والتسرب أكبر بسبب الفراغات الكبيرة بين الحبيبات وقدرتها الضعيفة على الاحتفاظ بالمياه، في حين الترب الناعمة كالتراب الغضاري تميز بقدرتها على الترابط بين حبيباتها وتشكيل طبقة مقاومة لمرور المياه عبرها. [2] تصنیف رتب الملاءمة المكانية لإقامة موقع حصاد المياه وفق مجموعات الترب الهيدرولوجية (HSG) حيث تأخذ الترب ذات النفاذية العالية من النوع (A) الرقم (3)، والترب ذات النفاذية الضعيفة جداً من النوع (D) الشكل (6-1).

اختيار المعايير الستة لتحديد خطر الفيضانات في منطقة الدراسة يعكس فهماً شاملًا للعوامل المؤثرة في هذه الظاهرة. تمثل المعايير مثل المطر وقياسات الجريان أهمية كبيرة، حيث تؤثر بشكل مباشر على كمية المياه المتقدمة. بينما تعكس كثافة المسيلات والانحدار قدرة المنطقة على تصريف المياه، مما يزيد من احتمالية الفيضانات. كما أن مؤشر الرطوبة الطبوغرافي وقام التربة يساهمان في فهم كيفية احتفاظ التربة بالمياه.

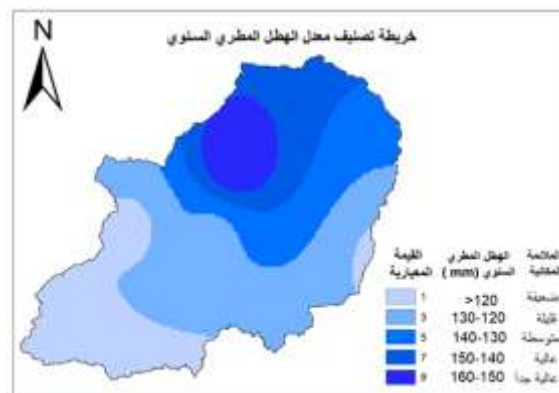
الجدول (1): تصنیف المعايير المؤثرة على خطر الفيضان ودرجة الملائمة لكل منها والأهمية. (إعداد الباحثة)

الأهمية الإجمالية	مؤشر خطر الفيضان	مناطق الشريحة (التصنيفات)	المعيار	دليل الشريحة
27	1	106.3-120	المطر السنوي (mm/y)	1
	3	120.1-130		
	5	130.1-140		
	7	140.1-150		
	9	150.1-164.3		
27	1	30-49	CN	2
	3	50-74		
	5	75-83		
	7	83-90		

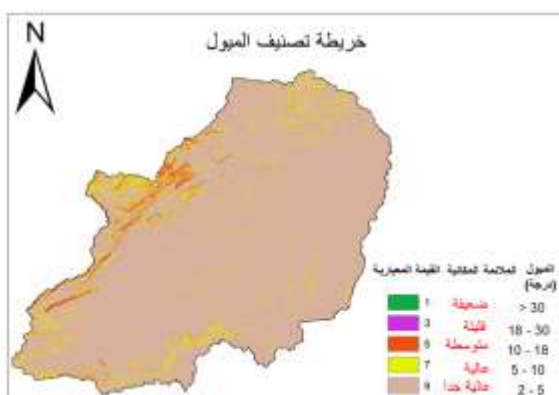
	9	90-98		
15	1	0.00-2.30	كثافة المسيلات الخطية (Km/Km2)	3
	3	2.40-4.30		
	5	4.40-7.10		
	7	7.20-12.00		
	9	12.10-21		
15	1	0°-2°	(Slope) الميل	4
		2°-5°		
	3	50°-10°		
	5	10°-18°		
	7	18°-30°		
	9	30°-45°		
		>45°		
8	1	3.11-8.21	مؤشر الرطوبة الطبوغرافي (TWI)	5
	3	8.22-10.7		
	5	10.8-13.2		
	7	13.3-16.0		
	9	16.1-24.4		
8	3	(حصوية رملية) HSG A	قوع التربة	6
	5	(سلتية، رملية) HSG B		
	7	(غضارية سلتية، سلتية، رملية غير عميقه) HSG C		
	9	(غضارية ثقيلة) HSG D		



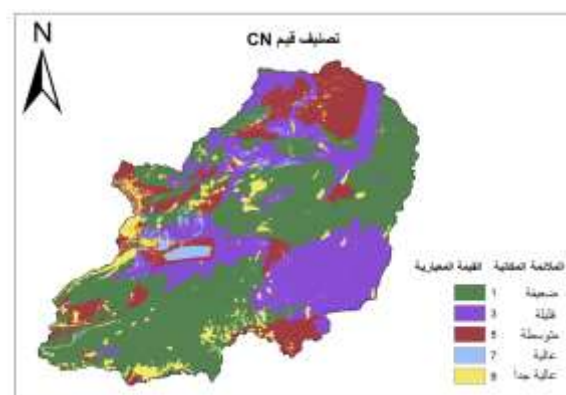
الشكل (2-1)



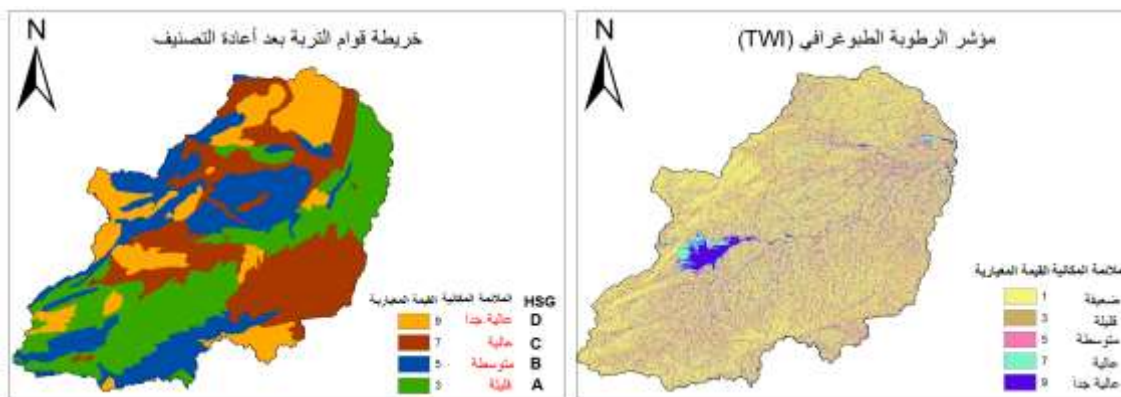
الشكل (1-1)



الشكل (4-1)



الشكل (3-1)



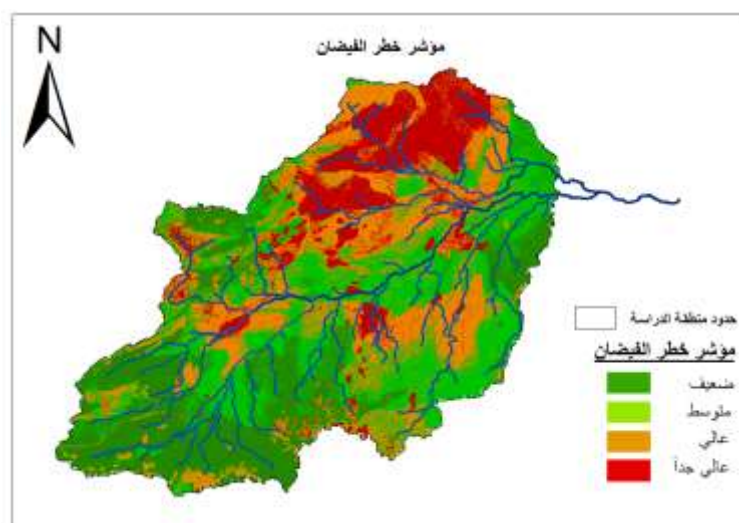
الشكل (1)

الشكل (5-1)

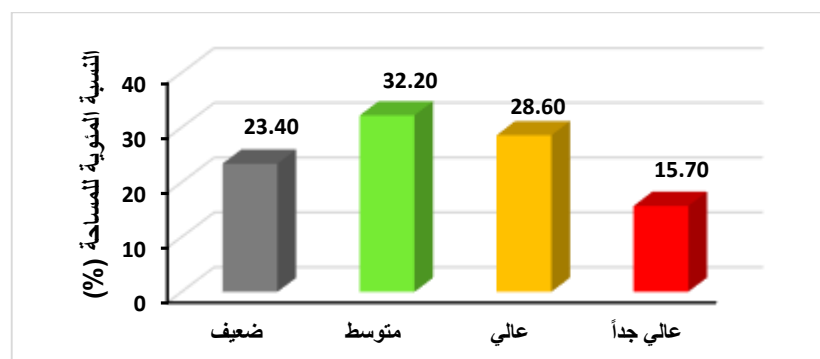
الشكل (1): تصنیف المعايير المؤثرة على خطر الفیضان ودرجة الملائمة لكل منها

9. تحديد المناطق المعرضة لخطر الفیضان:

من خلال عملية تکامل الشرائحة الغرضية المعاد تصنیفها مع أوزانها، يمكن الحصول على خارطة مؤشر خطر الفیضان الموضحة في الشكل (2).

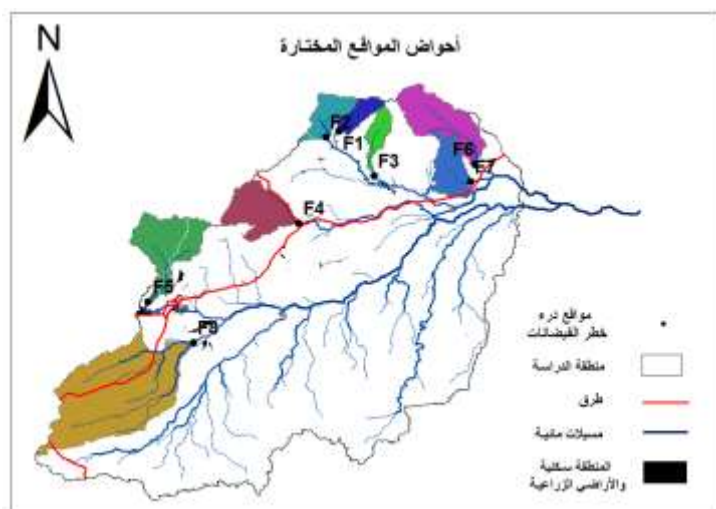


الشكل (2): خريطة الملائمة المكانية لمؤشر خطر الفیضان.



الشكل (3): النسبة المئوية لتوزيع مساحة مؤشر خطر الفیضان.

عند تحديد الموقع النهائية لمنشآت حصاد مياه الأمطار لدرء خطر الفيضانات كانت الأولوية حماية المناطق السكنية والزراعية والطرق والمراعي. يوضح الشكل (4) الموقع المقترحة لدرء خطر الفيضان وموقعها بالنسبة للمناطق السكنية والأراضي الزراعية والطرق.



الشكل (4): خريطة الموقع المقترحة لدرء خطر الفيضانات وأحواض تصريفها.

10. حساب حجم الوارد المائي عند الموقع المقترحة باستخدام SCS-CN

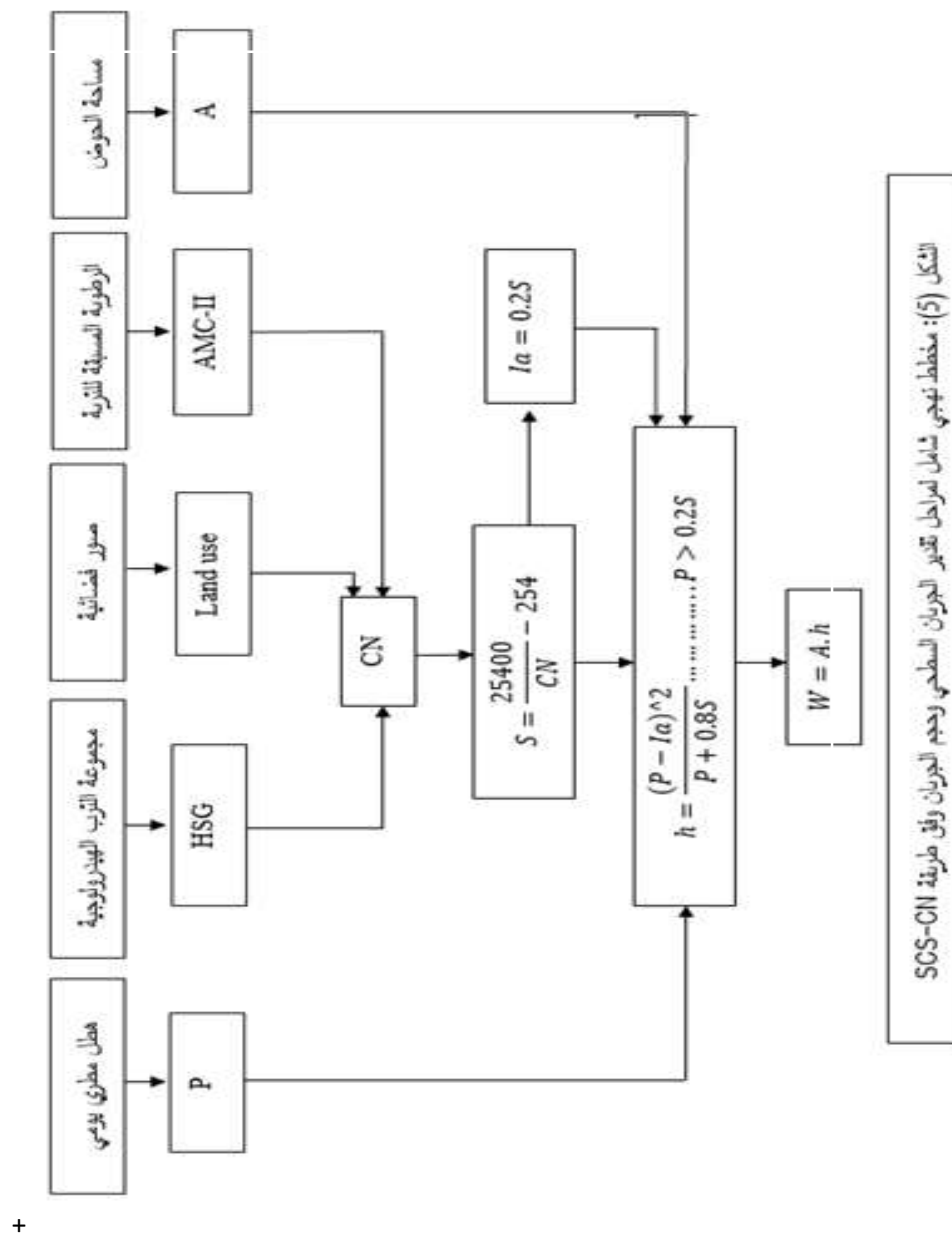
يوضح الشكل (5) المنهجية لحساب حجم الوارد المائي بطريقة SCS-CN حيث:

W يمثل حجم الجريان السطحي m^3

h يمثل ارتفاع الجريان السطحي (mm)

P الهرولات المطرية اليومية الأعظمي (mm/day) تم الحصول عليها من المديرية العامة للأرصاد الجوية وللفترة (1960-2000) لمحطة السخنة ومحطة تدمر.

S الإمكانية القصوى للاحتفاظ بالماء في التربة (mm) و Ia الفاقد من مياه الأمطار قبل بدء الجريان السطحي (mm) عن طريق التبخر أو ما تعرضه النباتات من مياه الأمطار والمياه المتجمعة في المنخفضات السطحية أو عن طريق التسرب.



الشكل (٥): نمط المطر المطرى على سطح الأرض (الغرين) المائي وجدها (الوين) وفق طريقة

مواصفات الموقع	F1	F2	F3	F4	F5	F6	F7	F8
Area(km^2)	139.99	226	142.1	433.5	546.7	528.7	294.87	1624.9
CN	74	67.7	76.6	63	72	73	70	57
S (mm)	89.24	121.18	77.59	149.17	98.78	93.95	108.86	191.61
Ia (mm)	17.85	24.24	15.52	29.83	19.76	18.79	21.77	38.32

الجدول (2): مواصفات الموقع المقترحة

الموقع	الاحتمال %	التكرار (year)	المهطل المطري P (mm/day)	ارتفاع الجريان السطحي h (mm/day)	حجم الجريان السطحي V (M. m ³)
F1	1	100	46.07	6.78	0.9
	2	50	42.27	5.25	0.7
F2	1	100	46.07	3.33	0.5
	2	50	42.27	2.34	0.3
F3	1	100	46.07	8.63	1.2
	2	50	42.27	6.86	1.0
F4	1	100	46.07	1.59	0.7
	2	50	42.27	0.96	0.4
F5	1	100	46.07	5.54	3.0
	2	50	42.27	4.18	2.3
F6	1	100	46.07	6.14	3.2
	2	50	42.27	4.69	2.5
F7	1	100	46.07	4.43	1.3
	2	50	42.27	3.25	1.0
F8	1	100	46.07	0.3	0.5
	2	50	42.27	0.08	0.1

الجدول (3): حجم الجريان السطحي عند الموقع المقترحة

11. النتائج:

- تشكل المناطق ذات مؤشر خطر عالي جداً لفيضانات نسبة 15.7% من منطقة الدراسة. و 28.6% تقريباً ذات مؤشر عالي، وتقع المناطق السكنية والأراضي الزراعية ضمن هذه المؤشرات.

- تم تحديد 8 مواقع لدرء خطر الفيضانات كما هو مبين بالشكل (4).
 - تم تحديد 6 مواقع لتقاطع الأودية مع الطريق الدولي (دير الزور ، تدمر ، دمشق).
 - أكبر قيمة لمعامل المنحني CN ضمن منطقة الدراسة بلغت 98 والتي تشكل 4% من مساحة المنطقة، وأقل قيمة CN بلغت 30 وتشكل نسبة 15% من المنطقة، بلغت قيمة CN الموزون على كامل المنطقة 58.34
 - بلغ متوسط الهطل اليومي الأعظمي خلال فترة (1960-2000) في منطقة الدراسة 21 مم/اليوم، وبلغ حجم الوارد المائي الوسطي السنوي في منطقة الدراسة حوالي 58 مليون متر مكعب.
- 12. التوصيات:**

- العمل على تنفيذ منشآت لدرء خطر الفيضان في بعض الموقع المقترحة وخاصة الموقع القريبة من مدينة تدمر
- ضرورة إعداد قاعدة بيانات مناخية وهيدرولوجية لكل منطقة الدراسة.
- استخدام تقنيات الاستشعار عن بعد ونظم المعلومات الجغرافية في إعداد دراسات التحليل المكاني واستخدام عملية التسلسل الهرمي التحليلي (AHP) من أجل تقييم العوامل المؤثرة وتحليل الأولويات.

المراجع:

1. Elsebaie, I.H.; Kawara, A.Q.; Alnahit, A.O. (2023)- **Mapping and Assessment of Flood Risk in the Wadi Al-Lith Basin, Saudi Arabia.** *Water*, 15, 902
2. Khan, M.Y.A.; Elk shouty, M.; Zaidi, F.K.; Egbueri, J.C. (2023). **Mapping Aquifer Recharge Potential Zones (ARPZ) Using Integrated Geospatial and Analytic Hierarchy Process (AHP) in an Arid Region of Saudi Arabia.** *Remote Sens*, 15, 2567
3. KAMIL, A. M; AL-IBADI, Z. M; AL-HAMMADANI, R. A. (2021). Analysis of the slopes of Jambour Anticline in Kirkuk and its Effect on Soil Formation using Remote Sensing (RS).
4. Saaty, T. L. (1977). **A scaling method for priorities in hierarchical structures.** *Journal of mathematical psychology*, 15(3), 234-281
5. Saleh.A.S. Al-Hatrushi.S.M.(2010). **Torrential Flood Hazards Assessment, Management and Mitigation, in Wadi Aday, Muscat Area, Sultanate of Oman, a GIS&RS Approach. Egypt.** *J. Remote Sensing & Space Sci.*, V.12, pp. 71-86
6. Wang, Y. Tian, Y. Cao, Y. (2021). **Dam Siting: A Review.** *Water* 13.2028
7. Amen, A.R. Mustafa, A. Kareem, D.A. Hameed, H.M.; Mirza, A.A. Szydłowski, M.; M. Saleem, B.K. (2023). **Mapping of Flood-Prone Areas Utilizing GIS Techniques and Remote Sensing: A Case Study of Duhok, Kurdistan Region of Iraq.** *Remote Sens*, 15, 1102.

8. الأسعد، راميا. (2015). إدارة السيول والحد من الآثار الناجمة عنها في منطقة من تدمر. ماجستير، قسم الهندسة المائية، كلية الهندسة المدنية، جامعة البعث.
9. الكيلاني، رضوان. برقلان، محمد. (2024) استخدام نظم المعلومات الجغرافية لاختيار مواقع السدود لحصاد مياه الأمطار السطحية والتخفيف من الفيضانات في حوض وادي مصين شمال الضفة الغربية بفلسطين. مجلو العلوم الاجتماعية، المجلد (52)، العدد (4).
10. باواحدى، خالد. حمدون، حنان. (2022). إدارة كوارث السيول في مدينة مكلا باستخدام تقنيات نظم المعلومات الجغرافية. مجلة العلوم الزراعية والبيئية والبيطرية، المجلد (6)، العدد (1).
11. عمر مناصير. كنزة، لعيادة. (2018). حساسية الأوساط الحضرية لخطر الفيضانات دراسة حالة حي العرقوب - المسيلة. جامعة محمد بوضياف-المسيلة. الجزائر
12. ناصر ، شوقي أحمد. (2023). إدارة مخاطر الفيضانات الخاطفة في منطقة غات (جنوب غرب ليبيا) باستخدام التقنيات المكانية. مجلة العلوم الإنسانية.
13. الأطلس المناخي لسوريا 1977

Mapping Flood-Prone Areas in the Al-Sukhna and Palmyra Basins Using Geographic Information Systems (GIS) and Proposing Sites for Flood Mitigation Structures

Sabreen Hameed

Dr. Wissam Nakhleh

Abstract

The study area encompasses the Al-Sukhna and Palmyra basins in the Syrian Badia. This research utilized Geographic Information Systems (GIS) to analyze geographic data and determine the Flood Hazard Index (FHI). The study included six criteria: (precipitation, CN values, slope, soil type, TWI, and drainage density). Using the Analytical Hierarchy Process (AHP), the weights of these criteria were established. The surface runoff was calculated at the proposed sites for flood hazard mitigation using the Soil Conservation Service Curve Number (SCS-CN) method. The model produced a spatial suitability map for the Flood Hazard Index categorized into four classes: areas with a very high hazard index accounting for 15.7% of the study area, high hazard index at 28.6%, moderate at 32.2%, and low hazard index at 23.4%. Consequently, eight sites were identified for rainwater harvesting structures aimed at mitigating flood risks. The annual water intake for a rainstorm of 46.07 mm/day with a recurrence period of every 100 years at the proposed sites was (3.2-0.5) million cubic meters.

Keywords: Analytical Hierarchy Process (AHP), Flood Hazard Index (FHI), Geographic Information Systems (GIS)